

## Production, analyse et utilisation de la polarisation des ondes électromagnétiques

Niveau : L2

P. Jamonneau  
Tout en Un  
PC - PC\*

Dans le cours précédent, on s'est intéressé à la propagation d'une onde électromagnétique dans le vide avec le modèle de l'onde plane progressive harmonique.

$$\vec{B} = \frac{\vec{k} \wedge \vec{E}}{\omega}$$

On a vu que  $(\vec{k}, \vec{E}, \vec{B})$  constituait un trièdre direct donc  $\vec{k} \perp \vec{E}$  et  $\vec{B} \perp \vec{E}$ .

$\vec{E}$  évolue donc dans un plan orthogonal à la direction de propagation de l'onde, mais que dire plus précisément de la direction de  $\vec{E}$  ou direction de polarisation ?

$$\vec{E} = \begin{cases} E_{0x} \cos(\omega t - kz) \hat{u}_x \\ E_{0y} \cos(\omega t - kz - \Delta\Phi) \hat{u}_y \\ 0 \hat{u}_z \end{cases}$$

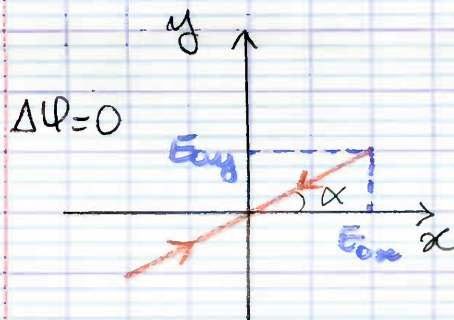
### I- Production et analyse d'une lumière polarisée

#### 1) Différents types de polarisation.

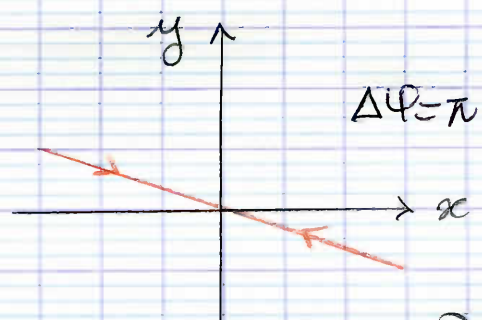
##### a) Polarisation rectiligne

$$\cos \Delta\Phi = 0 \text{ ou } \Delta\Phi = \pi$$
$$E_{0x} > E_{0y}$$

Représentation dans le plan  $z=0$ :



$$\vec{E} \begin{cases} \rightarrow E_{ox} \cos(\omega t) \\ E_{oy} \cos(\omega t) \\ 0 \end{cases}$$



$$\vec{E} \begin{cases} \rightarrow E_{ox} \cos(\omega t) \\ -E_{oy} \cos(\omega t) \\ 0 \end{cases}$$

$$\tan(\alpha) = \frac{E_{y(0,t)}}{E_{x(0,t)}} = \frac{E_{oy}}{E_{ox}} \text{ indépendant du temps}$$

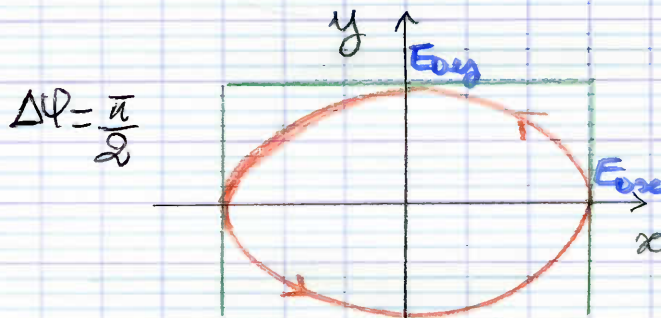
▲ La direction de  $\vec{E}$  est fixe au cours du temps, mais son sens et sa norme évoluent!

Sur slide : cas  $E_{oy} = 0$

### b) Polarisation elliptique

Cas plus général.

Pour simplifier, on considère  $\Delta\Phi = \frac{\pi}{2}$ .



$$\vec{E} \begin{cases} \rightarrow E_{ox} \cos(\omega t) \\ E_{oy} \sin(\omega t) \\ 0 \end{cases}$$

$$\left( \frac{E_{x(0,t)}}{E_{ox}} \right)^2 + \left( \frac{E_{y(0,t)}}{E_{oy}} \right)^2 = 1$$

→ équation d'une ellipse

Sens de parcours de l'ellipse :

POUR un observateur qui voit l'onde arriver à son œil !

$$\left. \begin{array}{l} \omega t = 0 \rightarrow \vec{E} \left| \begin{array}{c} E_{ox} \\ 0 \\ 0 \end{array} \right. \\ \omega t = \frac{\pi}{2} \rightarrow \vec{E} \left| \begin{array}{c} 0 \\ E_{oy} \\ 0 \end{array} \right. \end{array} \right\} \begin{array}{l} \text{Elliptique gauche} \\ (\text{sens trig}) \end{array}$$

Si l'ellipse est parcourue dans le sens horaire, on parle de polarisation elliptique droite.

### c) Polarisation circulaire

Ces particularités d'ellipse avec  $\left\{ \begin{array}{l} E_{ox} = E_{oy} \\ \Delta\Phi = \pm \frac{\pi}{2} \end{array} \right.$

Comment produire et analyser expérimentalement une polarisation ?

### d) De nombreux outils expérimentaux

Une lampe ne fournit en général pas une lumière polarisée, à l'exception de certains LASERS.

Pour produire une lumière polarisée rectilignement on utilise un polariseur plan dichroïque. Cet élément est constitué de chaînes de polymères qui peuvent être excités selon une direction privilégiée, et donc dissiper l'énergie électromagnétique. C'est la direction orthogonale qui est passante et constitue la direction de polarisation.

Cet objet s'appelle polariseur ou analyseur selon l'utilisation que l'on en fait dans un montage.

Manip: polariseur et analyseur croisés  
Lames à retard (sur slides)

$$\Delta\phi = \frac{2\pi}{\lambda} \cdot \Delta n \cdot e$$

$\Delta$  spécifique à une longueur d'onde  
Ici,  $\lambda = 560 \text{ nm}$  alors que les filtres interférentiels permettent de travailler à 546nm

Manip: production de polarisations rectiligne (axe neutre = axe polariseur), elliptique ou circulaire avec une lame quart d'onde

### 3) Synthèse sur l'analyse d'une lumière polarisée

Diagramme sur slide

Manip: méthode de la lame  $\frac{1}{4}$

Quelles utilisations peut-on faire de la polarisation?

## I- Utilisation de la polarisation

### 1) Contrôle d'intensité lumineuse

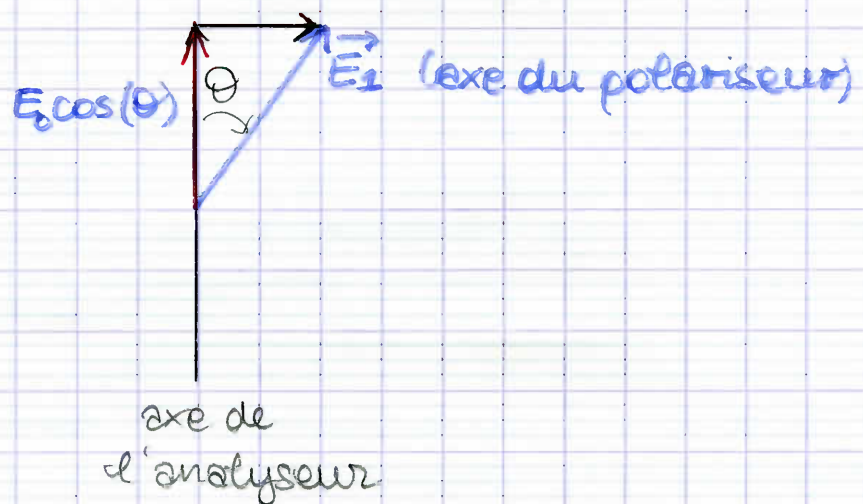
Démonstration de la loi de Malus :

$$\vec{E}_1 = E_0 \cos(\omega t - kz) \hat{u}_z \quad (\text{polarisation rectiligne en sortie du polariseur})$$

$$\vec{B}_1 = \frac{\vec{E}_1}{\omega} \times \vec{B}_0 = \frac{k}{\omega} E_0 \cos(\omega t - kz) \hat{u}_y$$

$$\vec{\Pi} = \vec{E}_1 \times \vec{B}_1 = \frac{k}{\omega} \frac{E_0^2}{\mu_0} \cos(\omega t - kz)^2 \hat{u}_z$$

$$I_0 = \langle \vec{\Pi} \rangle_t \cdot \hat{u}_z = \frac{1}{2} \frac{E_0^2}{\mu_0 c}$$



$$\text{En sortie de l'analyseur : } I = \frac{1}{2} \frac{(E_0 \cos(\theta))^2}{\mu_0 c}$$

$$I = I_0 \cos^2(\theta)$$

→ pratique pour contrôler l'intensité lumineuse (ex: linéarité d'une photodiode).

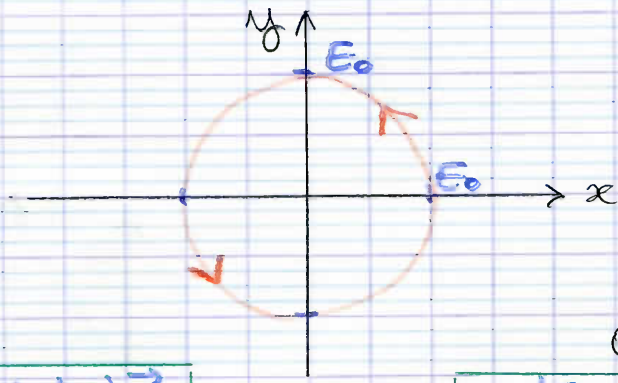
## 2) Vision en relief

Autostéréogrammes :

- difficultés à voir
- peu de confort visuel
- relief perdu si on détourne le regard

Principe des lunettes 3D (Tout en un PC-PC\*)

On projette simultanément deux images :  
l'une destinée à l'œil droit (polarisation circulaire droite), l'autre à l'œil gauche  
(polarisation circulaire gauche).

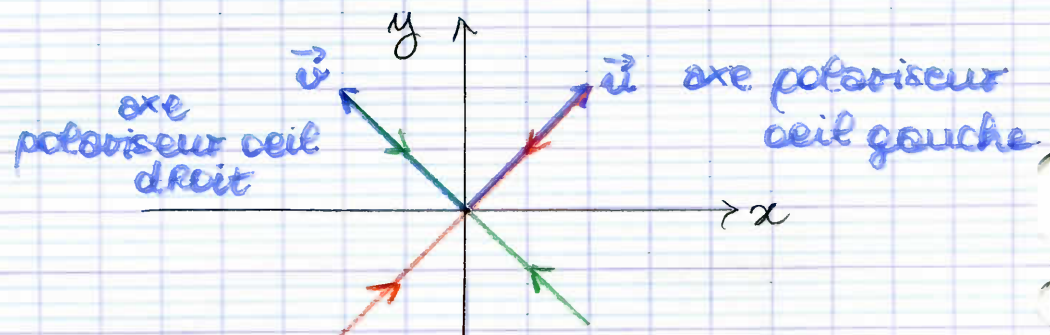


$$\vec{E}_1 = \begin{cases} E_0 \cos(\omega t - kx) \hat{u}_x \\ E_0 \sin(\omega t - kx) \hat{u}_y \\ 0 \hat{u}_z \end{cases}$$

l'axe  $\frac{\lambda}{4}$

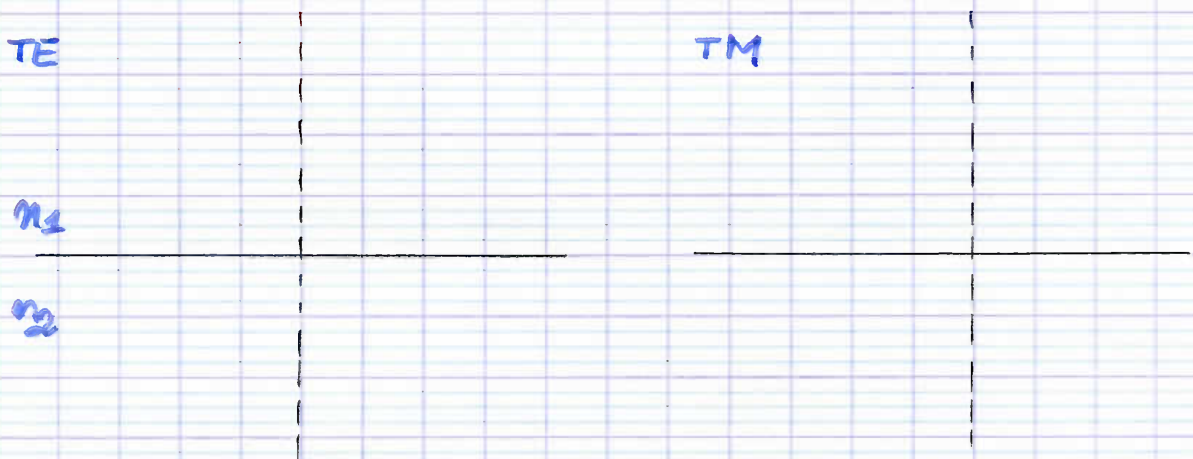
( $E_1$  déphasée de  $\frac{\lambda}{4}$ )

$$\vec{E}_2 = \begin{cases} E_0 \sin(\omega t - kx) \hat{u}_x \\ E_0 \cos(\omega t - kx) \hat{u}_y \\ 0 \hat{u}_z \end{cases}$$



### 3) Principe des lunettes "anti-reflet"

Ce sont en fait des verres polarisés qui exploitent le caractère polarisé rectilignement de la lumière réfléchie à l'interface eau/air à une incidence particulière appelée incidence de Brewster.



Puissance rayonnée nulle selon l'axe des dipôles.

$$n_1 \sin(i_s) = n_2 \sin(i_{s2})$$

$i_s$  est tel que  $n_1 \sin(i_s) = n_2 \sin(\frac{\pi}{2} - i_s)$

i.e.  $i_s = \text{Arctan}\left(\frac{n_2}{n_1}\right)$

eau/air  $i_s = \text{Arctan}\left(\frac{1.33}{1}\right) = 53^\circ$

verre/air  $i_s = \text{Arctan}\left(\frac{1.5}{1}\right) = 56^\circ$

Monip : angle de Brewster

Conclusion : tableau récapitif

Ouverture sur les ondes électromagnétiques  
dans les plasmas.